# 饮用水氯化消毒新副产物 TCMCD的水解机理\*

沈 幸 邵智娟 鲜啟鸣 邹惠仙\*\* 高士祥 (南京大学环境学院, 污染控制与资源化国家重点实验室, 南京, 210093)

摘 要 研究了一定温度和 pH 值条件下 2, 2, 4—三氯-5-甲氧基-环成-4烯-1, 3—二酮 (TCM CD)的水解机理. 结果表明, TCM CD 在水中发生不可逆的水解反应, 生成 2, 5—二氯-3-羟基-4甲氧基-环戊-2, 4—二烯酮 (DHM-CD)和 3氯-2-羟基-4甲基-5-氧-2, 5—二(氢)-呋喃-2-甲酸 (CHM DFC)或二者的镜像异构体, CHM DFC 继续反应生成 3氯-2甲氧基-4酮-戊-2烯二酸 (CM PE). pH 值升高, 水解速率加快, 而温度对高 pH 值条件下TCM CD的水解影响更大.

关键词 氯化消毒副产物、TCM CD、水解机理、结构表征、

本文对 TCM CD 在水中的性质进行研究,了解其水解规律,为评价其对人体健康造成的威胁打下理论基础.

## 1 实验部分

#### 1.1 TCM CD 水解产物的结构表征

依次用 5m l乙酸乙酯、 5m l二氯甲烷和 10m l甲醇淋洗 SPE 柱,进行活化.配制 50m g•  $\Gamma^1$  TCM–CD(实验室自行合成<sup>[6]</sup>,纯度 > 99%) 水溶液 50m l 达到反应时间后,在减压条件下以 8m l• m in m 的流速通过预先活化过的 SPE柱.

富集水样后的 SPE 柱用 10m l二氯甲烷洗脱,洗脱液用分液漏斗分离出有机相,经无水  $Na_2$  SO<sub>4</sub>干燥后氮吹浓缩,进 GC-M S分析前加  $50^{\mu}$  l内标.

所得样品与空白进行对比、结合 HPLC寻找样品中新生成化合物的质谱图、并对谱图进行解析。

GC-MS(GC5890/MSD5971, Hew lett-Pack ard)条件: 色谱柱 HP-5MS(30m×0.25mm×0.25μm, SU-PELCO), 不分流进样; 气化温度 250℃; 柱温初温 40℃, 保持 2m in 后以 20℃• m in <sup>-1</sup>升温至 100℃, 接着以 6℃• m in <sup>-1</sup>升温至 170℃, 再以 20℃• m in <sup>-1</sup>升温至 230℃; 载气为高纯氦气; 柱前压 10ps; 检测器温度 160℃.

#### 1.2 TCM CD的水解动力学实验

在一定温度和  $_{
m PH}$  值的缓冲液中研究  $_{
m TCM}$  CD的水解动力学. 缓冲液  $_{
m PH}$  值  $_{
m 1-8}$  用  $_{
m NaC}$  l调节溶液离子强度为 0.6, 精密  $_{
m PH}$  计 (雷磁  $_{
m PH}$  S-3C)测定  $_{
m PH}$  值.

将装有 1m 1缓冲液的液相自动进样瓶放置于恒温水浴中 ( 10, 20, 30, 40°C ),用进样针移入  $1-10 \mu 15 m g \bullet 1 10$  TCM CD 甲醇溶液,振荡摇匀,得到浓度分别为 5, 10, 20, 30, 40,  $50 m g \bullet 1 10$  TCM CD水溶液,仪器配 HPLC 自动取样架,每隔 5-6 m i n 取一次样 ( pH 1-2 的溶液需间隔 6 m i n, 其

<sup>2008</sup>年8月10日收稿.

<sup>\*</sup> 国家自然科学基金资助项目 (2047/015, 2077/032). \* \* 通讯联系人, E-mail hxzow nji edu en Tel (025) 83686319 © 1994-2012 China Academic Journal Electronic Publishing House. All rights reserved. http://www.cnki.net

#### 它样品均为 5m in).

HPLC(Agilen t 1100)条件:流动相,乙腈: 1% 乙酸 = 70: 30,检测方式,全扫描,分析数据采集自 244nm 处信号;流速,1m  $l^{-}$  m  $in^{-1}$ ;柱温,40  $\mathbb{C}$ ;进样量,10  $l^{-}$ 

### 2 结果与讨论

#### 2.1 TCM CD 水解产物的结构

采用 SPE法将 TCM CD 及其水解产物提取至有机相,并用 GC-M S分析,所得到的总离子流色谱图 (图 1)与空白样进行比对,排除本底杂质,得到两个水解产物的质谱图. 其中一个化合物含两个 C1 (m/z 194) (图 2(a)),称为化合物 1,另一个含一个 C1(m/z 208) (图 2(b)),称为化合物 2

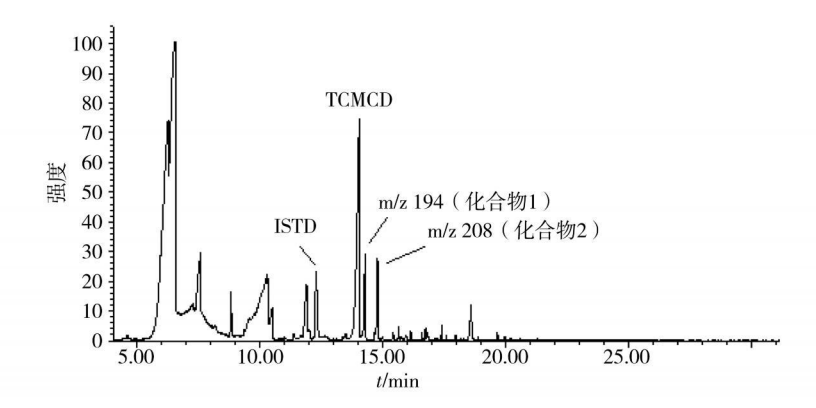


图 1 SPE法萃取 TCM CD水溶液总离子流色谱图

Fig. 1 The total ion chromatogram of TCM CD water solution extracted by SPE

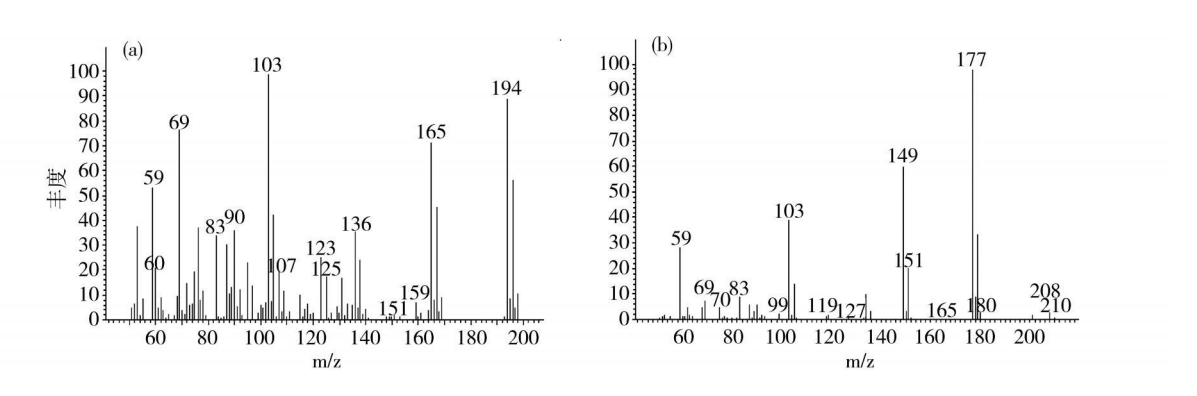


图 2 化合物 1(a)和化合物 2(b)的质谱图

Fig. 2 The mass spectrum of compound 1 and compound 2

图 3根据结构 1-b对化合物 1的质谱图 (图 2)进行了解析. 从结构 1-b的质谱裂解规律可以看出, 含有两个 C l的 m/z 1 2 3 裂解为含有一个 C l的 m/z 7 5,脱去。 C l的位置相当于原 T CM CD 结构的 2 位,这说明 T CM CD 在水解为化合物 1 时 5 位的。 C l得到保留,这也证实。 C l的确是从 2 位脱去的.

结构 1-a在分子离子峰 m /z 194脱去• Cl后,碎片的结构与结构 1-b的碎片完全相同;同样,按照第二种裂解方式,在 m /z 194脱去• CHO后得到的 m /z 165也与结构 1-b的 m /z 165完全相同.故结构 1-a的裂解规律可参考图 3 因此, 化合物 1的可能结构为 1-a或者 1-b,具体是哪种结构需要借

#### 助其它分析手段判断.

对化合物 2的质谱图和可能结构进行分析可知, 其结构可能是图 4中的 2-a或 2-b 以结构 2-a为例对质谱图进行解析 (图 4).

结构 2-b在分子离子峰 m/z 208分裂成为 m/z 177, 134, 119, 118后, 得到的碎片结构与结构 2-a 的碎片完全相同, 故结构 2-b的裂解规律可参考图 4 因此, 化合物 2的可能结构为 2-a或者 2-b, 具体是哪种结构需要借助其它分析手段判断.

图 3 结构 1-b的质谱裂解规律

Fig. 3 Interpretation of the mass spectrum of structure 1-b

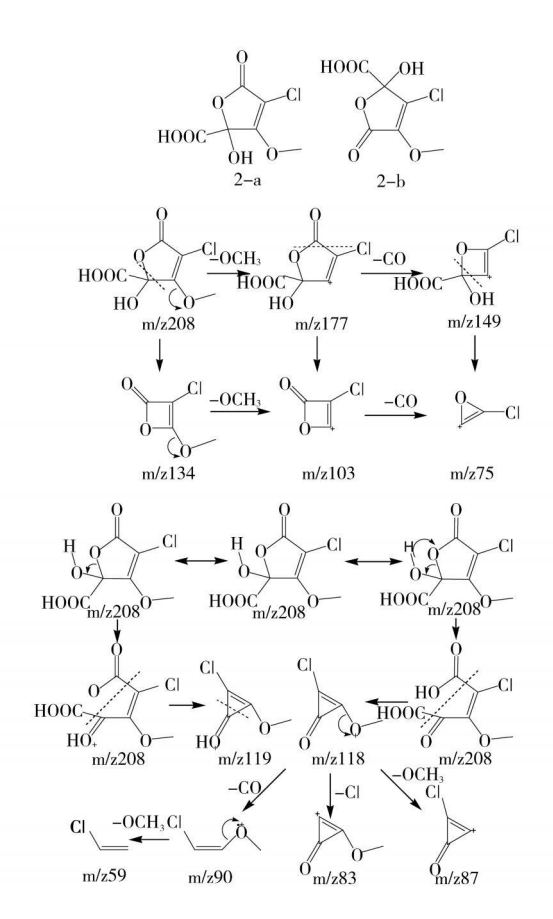


图 4 结构 2-a的质谱裂解规律

Fig. 4 Interpretation of them ass spectrum of structure 2-a

化合物 1, 2各有两种可能结构,从它们的形成可以看出,两者都是 TCM CD 分子结构中 1-2位或者 2-3位键打开而生成的.可以理解为,为了降低反应所需的能量,两个水解产物要么都是 2-3位断键而成 (结构 1-a, 2-a),要么都是 1-2位断键而成 (结构 1-b, 2-b).为了叙述方便,下面均采用 1-2位断键生成的产物。即:

#### 2.2 TCM CD的水解机理

采用 HPLC-UV 对 TCM CD 的水解进行研究,发现在一定 pH 值条件下,随着时间的增加,TCM CD 的量减少,生成化合物 1(DHM CD)和化合物 2 (CHM DFC)

将 TCM CD, DHM CD和 CHM DFC 的峰面积对时间作图 (图 5)可知, TCM CD 的量随着时间的增加

不断减少,符合一次指数式衰减方程,说明 TCM CD 的水解为准一级反应; DHM CD 的生成也符合一次指数式衰减方程; CHM DFC 的量先增多后减少,出现极大值,这是连续反应的突出特征<sup>[7]</sup>,符合二次指数式衰减方程。

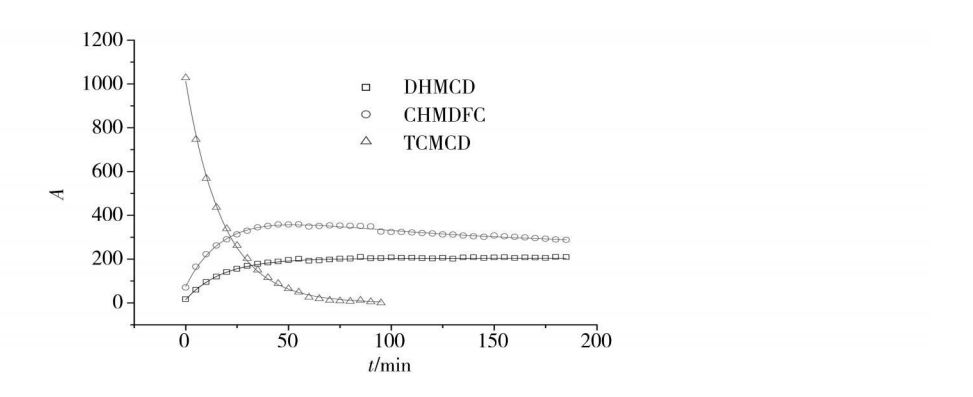


图 5 pH 5.58时 TCM CD的水解和水解产物随时间的变化

Fig. 5 Hydrolysis of TCM CD and formation of hydrolyzate at pH 5.58

对各化合物的拟合参数进行分析 (表 1),TCMCD 的水解速率和 DHM CD、CHMDFC的生成速率基本相同,因此认为 TCMCD 的水解反应有以下过程:

$$2C_6H_3C_{\frac{1}{2}}O_3 + 3H_2O \xrightarrow{k_1} C_6H_4C_{\frac{1}{2}}O_3 + C_6H_5CD_6 + 3HC1$$
TCM CD DHM CD CHM DFC

DHM CD 是一个烯醇式的结构,但由于环内形成了异戊二烯的共轭结构,且与环上的羰基共轭,因此能够保持相对稳定. CHM DFC 是内酯结构,在酸性条件下容易发生水解开环成 3 氯-2甲氧基-4-酮-戊-2-烯二酸 (CM PE),此反应以速率常数  $k_3$ 进行:

$$CHMDFC \xrightarrow{k_2} CMPE$$

TCM CD 生成 CHM DFC 再生成 CM PE 的两个反应速率常数  $k_1$   $/k_2$ 为 4. 46, 说明第二步反应是较慢的速率控制步骤.

综上,可以认为 TCM CD的水解按如下方式进行: TCM CD溶于水后浓度较大,很快生成 DHM CD和 CHM DFC, DHM CD 比较稳定,而 CHM DFC 以较慢的速度继续反应生成 CM PE,在宏观上表现出 CM PE的量不断增加. 随着反应的进行,TCM CD 浓度降低, DHM CD和 CHM DFC 的生成速率减缓;另一方面, CHM DFC 浓度增加,进一步生成最终产物的速率不断加快,使 CHM DFC 不断消耗,因而 CHM DFC 的总浓度下降。当生成 CHM DFC 的速率和消耗 CHM DFC 的速率相等时,就出现了极大点。

表 1 pH 5.58时 TCM CD 及其水解产物的动力学方程拟合参数 **Table 1** The fitting parameters of kinetic equation of TCM CD and hydrolyzate at pH 5.85

|         | $t_{\rm R}$ /m in | 拟合方程                                      | $y_0$           | $A_{1}$            | $t_1$             | $A_2$              | $t_2$             | $R^2$   | $k_{1}$ /m in $^{\!-1}$ | $k_2/\mathrm{m~in^{-1}}$ |
|---------|-------------------|-------------------------------------------|-----------------|--------------------|-------------------|--------------------|-------------------|---------|-------------------------|--------------------------|
| DHM CD  | 1. 678            | $y = y_0 + A_1 e^{-x/t_1}$                |                 | - 190. 92 ± 2. 73  |                   |                    |                   | 0 99396 | 0. 0500                 |                          |
| CHM DFC | 2. 047            | $y = y_0 + A_1 e_1^{-x/t} + A_2 e^{-x/t}$ | 263 02 ± 15. 18 | - 409. 04 ± 46. 11 | 19. 37±<br>1. 71  | 222. 28±<br>33. 72 | 86. 50±<br>26. 12 | 0 99307 | 0.0516                  | 0. 0116                  |
| TCMCD   | 2. 566            | $y = y_0 + A_1 e^{-x/t_1}$                | 0               | 1011.37 ± 7.67     | 18. 01 ±<br>0. 22 | _                  | _                 | 0 99901 | 0. 0555                 | _                        |

#### 2.3 pH 值对 TCM CD 水解的影响

 $_{
m PH}$  值对  $_{
m CD}$  的水解有很大的影响. 将水解速率常数  $_{
m k}$  对  $_{
m PH}$  值作图 (图 6)可知,在  $_{
m PH}$  1—6 时,  $_{
m k}$  保持平稳。随着,且值的增高,  $_{
m k}$  的绝对值缓慢增加(图 6中放大部分)。当,且值高于 6时,  $_{
m k}$  ,

的绝对值显著增大,即水解速度加快;在  $_{1}$ H 值接近 8时,  $_{k}$ 达到  $_{2}$  0.83m  $_{1}$ n  $_{3}$  在实际实验中, 5m  $_{4}$ n  $_{4}$ TCM CD 就已经完全水解,此结果表明,OH  $_{3}$ 对反应具有有效的催化作用。

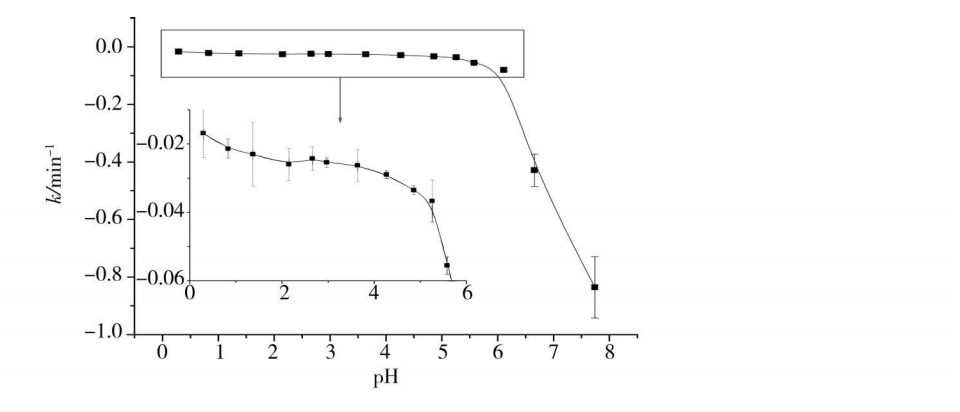


图 6 pH 值对水解常数的影响

Fig. 6 The constant of hydrolysis at different pH

#### 2.4 温度对 TCM CD 水解的影响

在一定 pH 值缓冲溶液下, hk 与 1/T 呈线性关系,说明 TCM CD 的水解反应符合阿仑尼乌斯 (A phanius)公式,可根据公式计算出反应的实验活化能  $E_a$  与指前因子 A (表 2). 从表中可以看出,高 pH 值条件下 TCM CD 水解的  $E_a$  比低 pH 值下高,因此当温度增加时,高 pH 值条件下 TCM CD 的水解速率增加更快,也就是说温度对高 pH 值条件下 TCM CD 的水解影响更大.反应的活化熵  $\Delta S^{\hat{A}}$ 是一个绝对值较大的负数,说明过渡态的结构比反应物分子紧凑,是紧凑过渡态  $\mathbb{R}^{[8]}$ .

表 2 TCM CD 水解反应的热力学参数

Table 2 The modynam ic parameters of TCM CD hydrolysis reaction

|          | lnk-1/T拟合方程                                 | $R^{2}$   | E <sub>a</sub> /kJ• mo⊦1 | ln4 /m in − 1 | ΔH <sup>à</sup> /kJ• mol <sup>-1</sup> (293K) | $\Delta S^{\lambda}/kJ^{\bullet}$ mol <sup>-1</sup> $\bullet$ K <sup>-1</sup> (293K) |
|----------|---------------------------------------------|-----------|--------------------------|---------------|-----------------------------------------------|--------------------------------------------------------------------------------------|
| pH 6. 04 | $\ln k = 28 \ 85 - 9.\ 20 \times 10^3 \ /T$ | 0. 99 992 | 76 47 ±0. 68             | 28. 85 ±0. 28 | 73 29                                         | - 15 49                                                                              |
| pH 2. 97 | $lnk = 11.66 - 4.48 \times 103 / T$         | 0. 99913  | 37. 21 ±1. 10            | 11. 66 ±0. 44 | 34 03                                         | - 158. 37                                                                            |

# 3 结论

TCM CD 在水中会发生不可逆的水解反应,符合准一级反应规律。TCM CD 的水解在数小时内完成,生成水解产物 2,5——氯—3-羟基—4甲氧基—环戊—2,4—二烯酮 (DHM CD)和 3-氯—2-羟基—4甲基—5-氧—2,5—2 (氢)—呋喃—2-甲酸 (CHM DFC)或二者的镜像异构体; DHM CD 比较稳定,在 24h内观察不到浓度的减少; CHM DFC 是连续反应的中间产物,在其生成的同时也以较慢的速度继续反应,水解开环成为 3氯—2-甲氧基—4酮—戊—2-烯二酸 (CM PE)或其镜像异构体,该反应由 H<sup>+</sup>催化。OH<sup>-</sup>对 TCM CD 的水解具有催化作用,出值升高,水解速率加快。温度对高 出值条件下 TCM CD 的水解影响更大。

#### 参 考 文 献

- [1] Gong H. J. Wang H. Q., You Z. et al., Molecular Structure of a New Chlorinated Sisinfection By-Product in Drinking Water Journal of Molecular Structure, 2005, 748, 71-76
- [2] Lu JH, Zou HX, Yang CY et al., Some Problems in the Detection of Strong Mutagen MX Formed by Chlorinating the Aromatic Acids and Phenolic Compounds Water Research, 2002, 36 970—974
- [3] Lu JH, Zou HX, Yu ZR et al., The Interference of 2-Chbro-5-oxo-3-hexene Diacyl Chloride (COHC) in the Detection of Strong Mutagen MX. Chan ophere, 2002, 48: 29—33
- [4] 马莹莹,饮用水氯化消毒新副产物 TCM CD 分析方法的研究及生成前驱物的探讨,南京大学硕士学位论文,2007
- [51 Gong H. J. You Z. X ian Q.M. et.al., Study on the Structure and Mutagenicity of a New Disinfection Byproduct in Chbrinated Drinking. © 1994-2012 China Academic Journal Electronic Publishing House. All rights reserved. http://www.cnki.ne

Water Environmental Science & Technology, 2005, 39: 7499-7508

- [6] 马莹莹, 沈幸, 张进琪等, 氯化消毒副产物 2, 2, 4三氯-5甲氧基-环戊-4烯-1, 3-二酮的合成及结构确认. 环境化学, 2007, **26**(4): 495-498
- [7] 傅献彩, 沈文霞, 姚天扬编, 物理化学. 高等教育出版社, 1990
- [8] 韩德刚,高盘良编著,化学动力学基础 . 北京大学出版社, 1987

# HYDROLYSI SMECHANI SM OF TCMCD, A NEW CHLORINATED DISINFECTION BY-PRODUCT IN DRINKING WATER

SHEN X ing SHAO Zhi-juan XIAN Qi-m ing ZOUH ui-x ian GAO Shi-x iang

(State Key Laboratory of Pollution Control and Resource Reuse, School of the Environment, Nanjing University, Nanjing 210093, China)

#### **ABSTRACT**

To investigated the hydrolysis mechanism of a new disinfection by-product, TCMCD, hydrolysis was conducted at different pH and temperature TCMCD undergoes spontaneous and irreversible hydrolysis with the pseudo-first-order reaction. The hydrolysis products are 2, 5-dichloro-3-hydroxy-4-methoxy-cyclopenta-2, 4-dienone (DHMCD, compound 1) and 3-chloro-2-hydroxy-4-methoxy-5-oxo-2, 5-dihydro-furan-2-carboxylic acid (CHMDFC, compound 2) or their enantiomers. The formation of CHMDFC is the first step of a secies reaction, CHMDFC then to 3-chloro-2-methoxy-4-oxo-pent-2-enedioic acid (CMPE). The pseudo-first-order rate constant increases with pH value. The temperature is a more efficient factor on hydrolysis rate at high pH value. The result shows that the existence of TCMCD in drinking water is strongly influenced by pH and temperature

K eyw ords ch brinated disinfection by products, TCM CD, hydrolysis mechanism, structure analysis